

阪神高速道路公団 正員 ○ 古池正宏  
建設技術研究所 正員 松井謙二

## 1. まえがき

阪神公団では場所打ち杭の鉛直支持力の推定は原則として道示式に準拠している。しかし阪神地域では超軟弱地盤が厚く堆積し杭の先端支持力に大きく依存しなければならない地盤から、全層洪積層の砂・粘土の互層より構成される地盤まで著しく変化に富んでいる。したがって全国レベルでの平均的な支持力を推定することを目的とした道示式では必ずしも最適といえない面がある。ここでは阪神公団がこれまでに実施した載荷試験の概要を整理するとともに、その結果を実際の高架橋基礎の設計に適用した事例について報告するものである。

## 2. 載荷試験結果と支持力・沈下特性

表-1に載荷試験の諸元と結果を、図-1にA杭とE杭の杭根入れ図を示す。A杭とF杭は安治川の河口付近のほぼ同じ地点に位置し、B杭は極軟弱な鋭敏粘土の分布する旧大和川の氾濫地域にある。C杭は位置的にも地質的にもA杭に近似する。D杭は上町台地の西端にあり全層洪積層よりなる。またE杭は泉北臨海工業地域の一画にあり、粘土～砂～砂礫の互層より構成される。A杭(リバース工法)以外、全てベノト工法で施工され、杭先端はいずれも洪積世以前の砂層または砂礫に根入れされている。表中の極限支持力 $R_u$ は宇都らの提唱するワイブル分布曲線による支持力判定法(ただし、変位指數 $m \neq 1$ )によった。

図-2に杭頭の荷重～沈下曲線(極限 $R_u$ および杭径Dで正規化、実測値)を示す。B杭を除き各杭ともほぼ同様の傾向を示し、従来から指摘されているように杭頭の沈下量が杭径の10%程度で極限支持力を発揮するようである。

図-3には杭周面全層の平均摩擦応力度 $\tau$ ～沈下量S曲線を示す。周面全体でみると、沈下量Sの増加に伴う $\tau$ の大き

表-1 鉛直載荷試験 諸元と結果

試験杭 項目	(A) 安治川杭 [海岸線Ⅲ期]	(B) 長田杭 [東大阪線]	(C) 九条杭 [大阪港線]	(D) 杉本杭 [東北線]	(E) 高砂杭 [海岸線南伸部] [河岸線IV期]	(F) 桜島杭 [河岸線IV期]
杭径(m) ×杭基(m)	Φ2.0 ×37.0	Φ1.5 ×25.5	Φ1.5 ×29.9	Φ1.5 ×18.0	Φ1.2 ×22.5	Φ1.5 ×43.9
周地面盤特性	冲積／洪積 (%) 92 / 8	60 / 40	82 / 18	0 / 100	47 / 53	81 / 19
砂系(粘土系) (%)	28 / 72	26 / 74	43 / 57	79 / 21	82 / 18	34 / 66
先端地盤特性	土質 砂レキ(Dg) ～中砂(Ds)	レキ混り粗砂 ～中砂(Ds)	中砂 (Ds)	レキ混り砂 (Os)	砂レキ (Dg)	砂レキ (Dg)
N値	50以上	50以上	50以上	60以上	60以上	60以上
支持力と沈下量(t/cm)	降伏値 $R_y$ /沈下量 2 250 / 8.2	670 / 0.9	840 / 3.0	1 170 / 4.5	1 050 / 2.4	1 780 / 3.9
	最大 $P_{max}$ /沈下量 3 200 / 17.7	1 000 / 3.5	1 000 / 4.8	1 800 / 34.2	1 700 / 20.0	1 990 / 5.2
極限 $R_u$	3 560	1 050	1 330	1 860	1 660	2 690

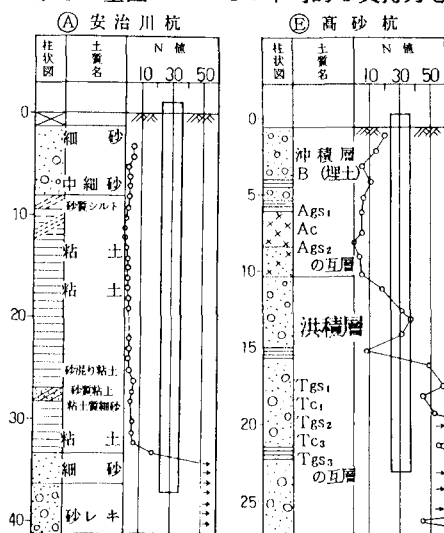
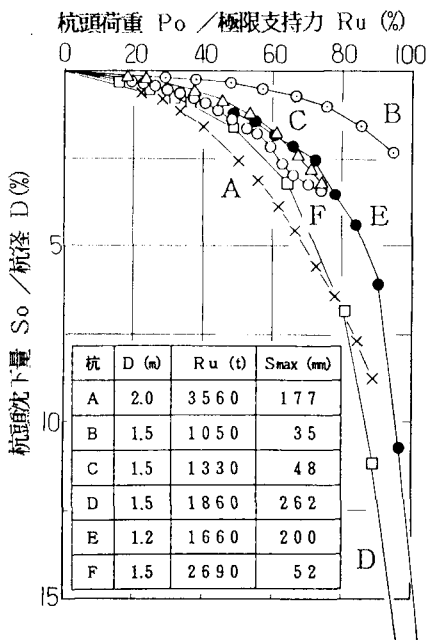


図-1 試験杭根入れ図

図-2  $Po/Ru \sim So/D$  曲線

な変化は見られず概ね  $S = 30 \sim 50 \text{ mm}$  程度でピークを有している。図-4には極限  $R_u$  時の杭先端への伝達率とそのときの先端支持力度の関係を図化した。同図には道示式の基礎となつたデータ（ほぼ最大荷重時、一部極限  $R_u$  時）も併記してある。公団データでは極限  $R_u$  時の先端支持力は、そのときの周面摩擦力が降伏  $R_y$  時と同じと仮定して求めている。伝達率と支持力度はほぼ比例しており、公団データは先端支持力度（および伝達率）が道示データに比較してかなり大きいこと、および先端土質の支持力度に及ぼす影響が大きいことがわかる。ただし、大きな支持力度を確保するにはそれに応じた沈下量を必要とすることに留意すべきである。

### 3. 試験結果の実設計への適用

1本の杭の載荷試験結果を設計区間内の基礎の設計にどう反映させるかは、その工区の地層構成が変化に富んでいる場合は特に難しい。今回ケース・スタディとした高砂工区は図-5に示す複雑な地盤で、かつ  $P_{62} \sim P_{78}$  は良質な支持層を得るために長尺支持杭を採用している。長尺杭の場合、計算上の支持力は大きいが地盤物性や施工性のばらつきが大きくなることが推察されるため杭1本あたりの合理的な上限値の推定が望まれる。

このような観点から、ここではE杭の試験結果を利用して計算上の支持力のばらつきを適当に仮定し、上限値設定の1つの目安にした。支持力のばらつきはE杭の実際の支持力と、E杭および他地点の試験結果に基づいて設定した支持力推定式（ここでは「修正公団式」と称する）の比のばらつきをあてた。図-6に代表的な橋脚位置（ボーリング地点）の支持力を示す。ここで  $R$  ( $-X \cdot \sigma$ ) は、その位置の修正公団式をベースに得られる平均の極限支持力  $R_u$  から標準偏差  $\sigma$  の  $X$  倍を引いたときの支持力を表わす。修正公団式による許容支持力の大きさも考慮して、最終的には各橋脚の  $R$  ( $-2.5 \sigma$ ) のほぼ平均値に相当する 400 t を支持力の上限値と設定し、高砂工区の基礎の設計を行った。

### 4. あとがき

合理的な杭設計のために載荷試験を実施してきているが、載荷試験結果による支持力の評価検討とともに、この結果をより有効に実設計にとりこむ手法について今後検討してゆきたい。

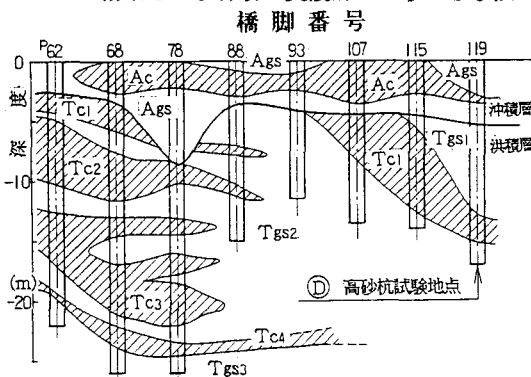


図-5 高砂工区の地層構成

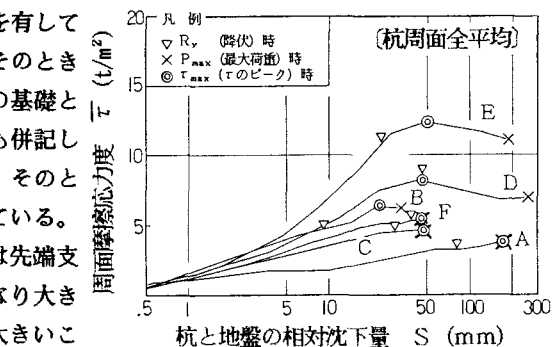
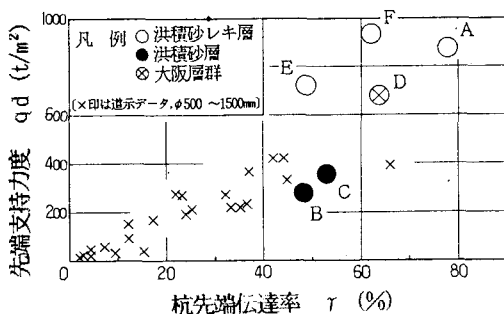
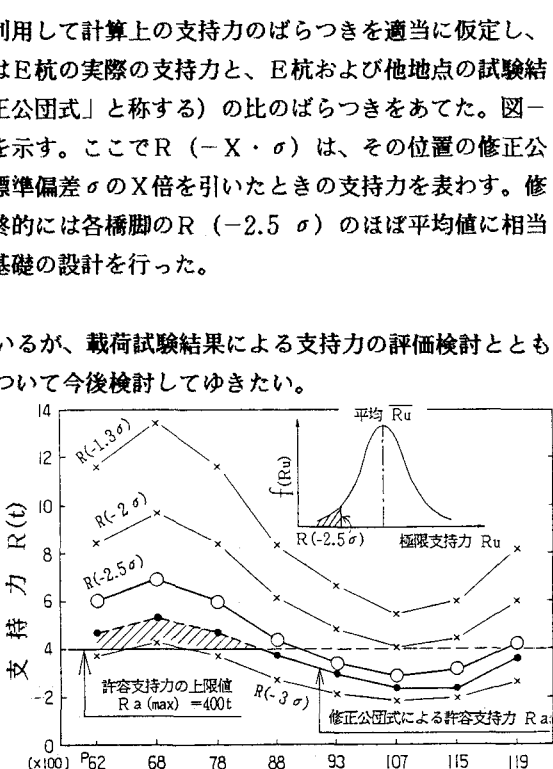
図-3 周面摩擦応力度  $\bar{\tau}$  ~ 相対沈下量  $S$  曲線図-4 先端支持力度  $q_d$  ~ 伝達率  $\tau$  の関係

図-6 高砂工区の支持力上限値の設定法